

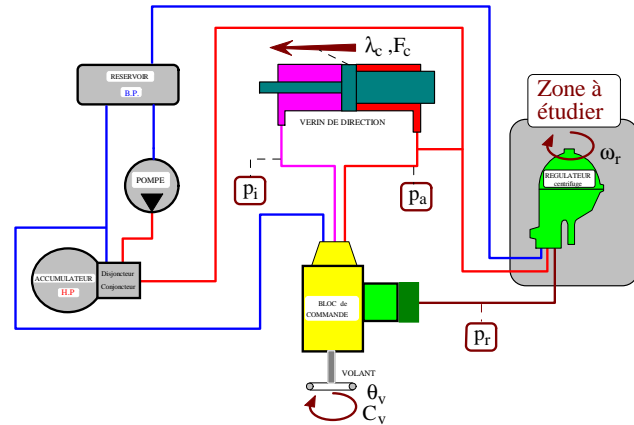


## TD 1 : Régulateur centrifuge DIRAVI

### Mise en situation et description

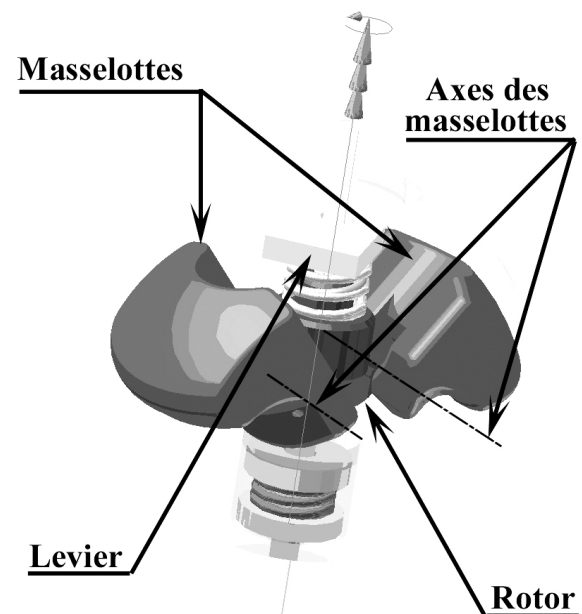
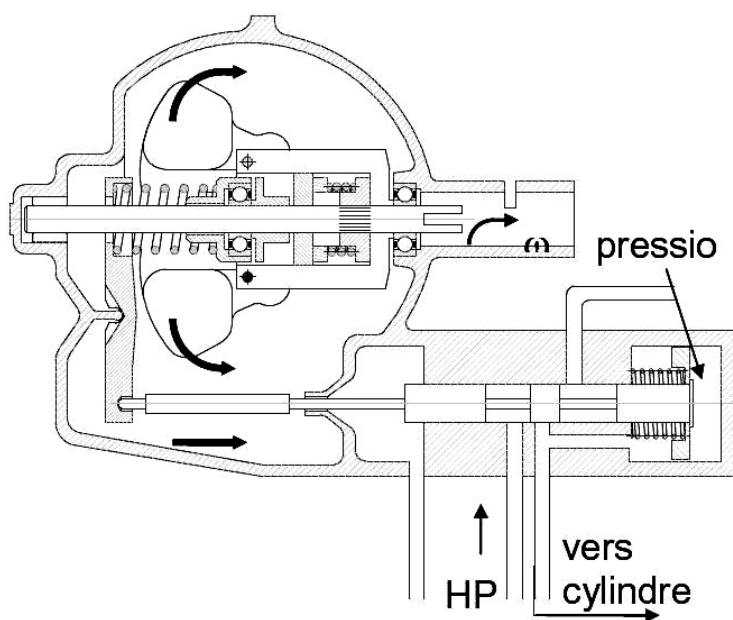
Le mécanisme de direction assistée DIRAVI étudié est décrit ci-dessous. Le schéma ci-dessous représente les différents constituants, ainsi que les connexions hydrauliques associées. En plus du classique système mécanique de direction (volant, colonne de direction, pignon, crémaillère...), l'ensemble d'assistance est constitué :

- ☞ D'une pompe hydraulique, associée à un réservoir d'huile, un accumulateur de pression et un bloc de régulation de débit / pression.
- ☞ D'un ensemble de commande qui détecte les actions exercées par le conducteur au niveau du volant et provoque le couple de rappel, celui-ci variant en fonction de la position du volant;
- ☞ D'un régulateur centrifuge, qui permet de faire varier le couple de rappel du volant en fonction de la vitesse du véhicule.
- ☞ D'un vérin hydraulique d'assistance ou vérin de direction,



Nous allons étudier le régulateur ci-contre qui est constitué :

- ☞ D'un rotor 1 qui est en liaison pivot sur le bâti 0 et qui tourne à une vitesse  $\omega$  proportionnelle à la vitesse du véhicule
- ☞ De deux masselottes 2 articulées sur le rotor 1 sur des axes orthogonaux à l'axe de rotation du rotor
- ☞ D'un levier 3, qui actionné indirectement (via un ressort) par les masselottes, commandera à son tour un distributeur régulant la pression  $p_r$  de pilotage du boîtier de commande.

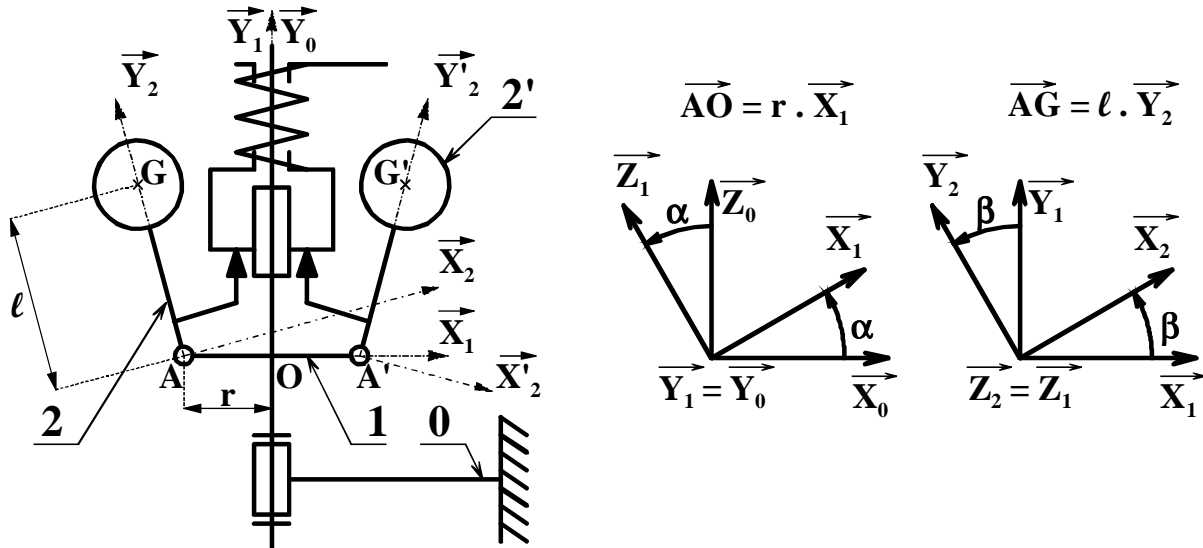


### Objectif du problème

Le but du problème est de déterminer le torseur dynamique des masselottes 2 et 2' ainsi que l'énergie cinétique de l'ensemble {rotor + masselottes} afin de préparer une étude dynamique du système.



### Paramétrage et schématisation du régulateur centrifuge



On pose : ↗  $\alpha$  : la position angulaire du rotor 1 par rapport au bâti 0.

↗  $\beta$  : la position angulaire de la masselotte 2 par rapport au rotor 1.

↗  $r$  : la distance entre l'axe du rotor et celui de la masselotte ( $r = C^{\text{te}}$ ).

↗  $\ell$  : la distance entre l'axe de la masselotte et son centre d'inertie G ( $\ell = C^{\text{te}}$ ).

↗  $R_0(\vec{X}_0, \vec{Y}_0, \vec{Z}_0)$ ;  $R_1(\vec{X}_1, \vec{Y}_1, \vec{Z}_1)$ ;  $R_2(\vec{X}_2, \vec{Y}_2, \vec{Z}_2)$  et  $R_{2'}(\vec{X}_{2'}, \vec{Y}_{2'}, \vec{Z}_{2'})$  les repères respectivement liés aux solides 0, 1, 2 et 2'.

↗  $A_1, B_1, C_1, -D_1, -E_1$  et  $-F_1$  les différents moments et produits d'inertie de la matrice d'inertie du solide 1 au point O dans le repère  $R_1$ .

↗  $A_2, B_2, C_2, -D_2, -E_2$  et  $-F_2$  les différents moments et produits d'inertie de la matrice d'inertie du solide 2 au point A dans le repère  $R_2$ .

**Afin de simplifier les calculs, on suppose que :**

↗  $\dot{\alpha}$  : La vitesse angulaire du rotor 1 par rapport au bâti 0 est une constante

↗  $\dot{\beta}$  : La vitesse angulaire de la masselotte 2 par rapport au rotor 1 est une constante

### Travail demandé

**1-** Etant donné la forme des masselottes (voir page précédente) donner la forme de la matrice d'inertie  $J_G(2)$  du solide 2 et en G dans le repère  $R_2$ .

**2-** Déterminer dans le repère  $R_2$  les composantes en G du torseur cinétique de la masselotte 2 par rapport au repère  $R_0$ .

**3-** Déterminer l'expression de l'énergie cinétique de l'ensemble {rotor + masselottes} par rapport au repère  $R_0$ . Sachant que l'on a toujours  $\beta' = -\beta$  les énergies cinétiques des deux masselottes sont identiques.

**4-** Déterminer dans le repère  $R_2$  les composantes en G du torseur dynamique de la masselotte 2 par rapport au repère  $R_0$ . En déduire en A les composantes dans  $R_2$  de ce même torseur.



## TD 2 : Centrifugeuse humaine

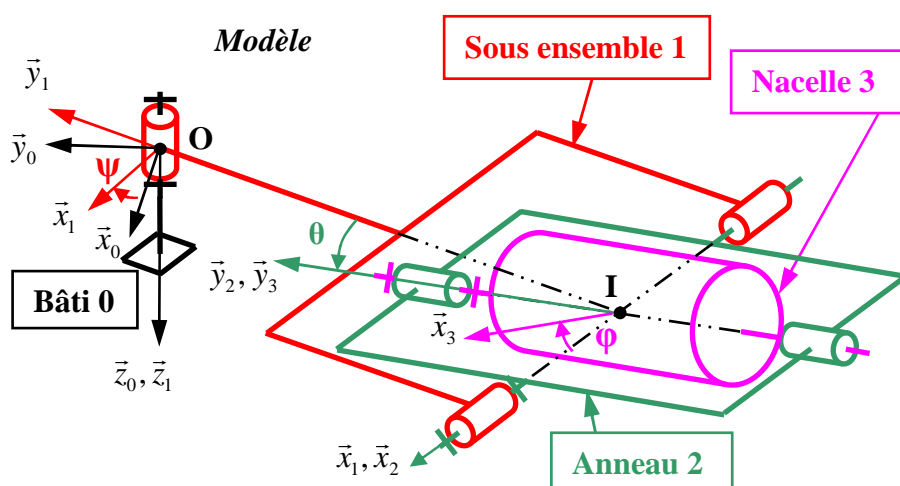
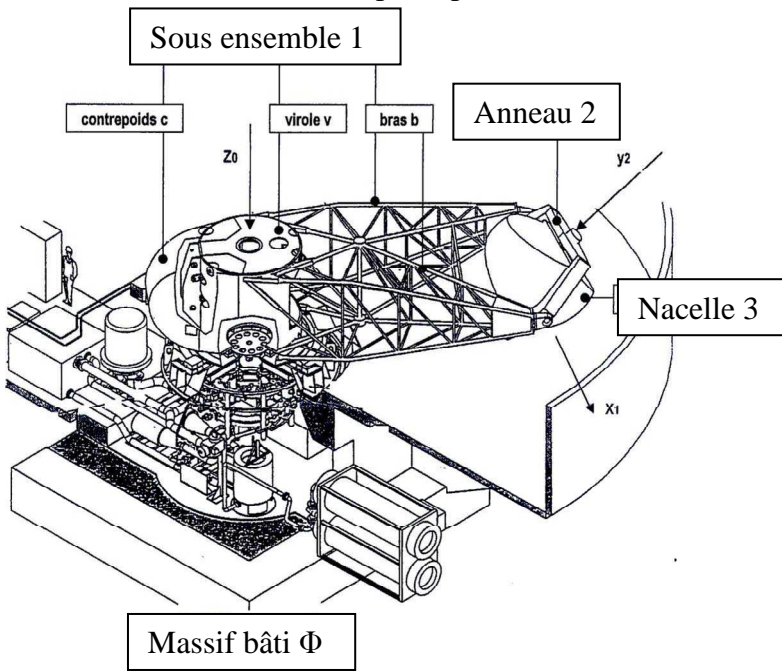
On s'intéresse à une centrifugeuse humaine dont on donne une description structurelle ainsi que la modélisation cinématique. Le système étudié est constitué de 4 éléments principaux :

- un massif-bâti en béton  $\Phi$  sur lequel est rigidement ancré un axe assurant le guidage en rotation du sous ensemble 1 autour d'un axe vertical,
- un sous ensemble 1 en rotation autour de l'axe vertical qui est composé d'un contre-poids  $c$ , d'une virole  $v$  et d'un bras en treillis tubulaire  $b$ ,
- un anneau 2, interposé entre la nacelle et le bras, autorisant les rotations autour des 2 axes orthogonaux (roulis et tangage),
- une nacelle instrumentée 3 équipée du siège pour le pilote.

Aux 4 éléments précédents s'ajoutent des équipements complémentaires comme :

- un générateur de puissance hydraulique,
- un réducteur pouvant transmettre une puissance de l'ordre de 1MW pour le mouvement de rotation du sous ensemble 1 par rapport à 0,
- une motorisation embarquée pour les mouvements de rotation de roulis et de tangage,
- un système d'asservissement pour chaque actionneur.

Cette conception permet de lier de façon univoque, les profils de position (ou de vitesse relative) engendrés au niveau de chaque liaison à l'évolution temporelle des 3 composantes d'accélération que subit le pilote. Ainsi les consignes de position ou de vitesse à appliquer aux liaisons sont directement déduites de l'accélération à reproduire. La vitesse de rotation du bras détermine l'intensité de l'accélération imposée au pilote et l'orientation de la nacelle en roulis et tangage fixe la direction de l'accélération imposée au pilote.





## Modélisation cinématique et paramétrage :

Sur le modèle on considère que :

- le repère  $\mathcal{R}_o = (O, \vec{x}_0, \vec{y}_0, \vec{z}_0)$  est lié au bâti  $\Phi$ , ce repère sera considéré comme galiléen. Le champ de la pesanteur est défini par  $\vec{g} = +g \vec{z}_0$ ,
- le repère  $\mathcal{R}_1 = (O, \vec{x}_1, \vec{y}_1, \vec{z}_0)$  est lié au sous ensemble 1 (composée du contrepoids c, de la virole v et du bras en treillis tubulaire b). La liaison 1/ $\Phi$  est considérée comme une liaison pivot parfaite d'axe  $(O, \vec{z}_0)$ , sa position est paramétrée par l'angle  $\psi(t) = (\vec{x}_0, \vec{x}_1)$ ,
- le repère  $\mathcal{R}_2 = (I, \vec{x}_2, \vec{y}_2, \vec{z}_2)$  est lié à l'anneau 2. La liaison 2/1 est considérée comme une liaison pivot parfaite d'axe  $(I, \vec{x}_1)$ , sa position est paramétrée par l'angle  $\theta(t) = (\vec{y}_1, \vec{y}_2)$ ,  $\theta$  est appelé angle de roulis,
- le repère  $\mathcal{R}_3 = (I, \vec{x}_3, \vec{y}_2, \vec{z}_3)$  est lié à la nacelle 3 dans laquelle prend place le pilote. La liaison 3/2 est considérée comme une liaison pivot parfaite d'axe  $(I, \vec{y}_2)$  sa position est paramétrée par l'angle  $\varphi(t) = (\vec{x}_2, \vec{x}_3)$

### Données massiques :

- Sous ensemble (1) : Masse  $m_1$ , centre de gravité  $G_1$  tel que  $\overrightarrow{OG}_1 = a \vec{y}_1$

$$\text{Matrice d'inertie } \bar{I}_{G_1}(1) = \begin{bmatrix} A_1 & -F_1 & -E_1 \\ -F_1 & B_1 & -D_1 \\ -E_1 & -D_1 & C_1 \end{bmatrix}_{(G_1, \vec{x}_1, \vec{y}_1, \vec{z}_1)}$$

Le plan  $(O, \vec{y}_1, \vec{z}_1)$  est un plan de symétrie pour le sous ensemble 1.

- Anneau (2) : Masse  $m_2$ , centre de gravité I tel que  $\overrightarrow{OI} = -R \vec{y}_1$

$$\text{Matrice d'inertie } \bar{I}_I(2) = \begin{bmatrix} A_2 & -F_2 & -E_2 \\ -F_2 & B_2 & -D_2 \\ -E_2 & -D_2 & C_2 \end{bmatrix}_{(I, \vec{x}_2, \vec{y}_2, \vec{z}_2)}$$

Les plans  $(I, \vec{x}_2, \vec{y}_2)$  et  $(I, \vec{y}_2, \vec{z}_2)$  sont des plans de symétrie pour le solide 2.

- Nacelle et pilote (3) : Masse  $m_3$ , le centre de gravité reste confondu avec le point I

$$\text{Matrice d'inertie } \bar{I}_I(3) = \begin{bmatrix} A_3 & 0 & 0 \\ 0 & B_3 & 0 \\ 0 & 0 & C_3 \end{bmatrix}_{(I, \vec{x}_3, \vec{y}_2, \vec{z}_3)} = \begin{bmatrix} A_3 & 0 & 0 \\ 0 & B_3 & 0 \\ 0 & 0 & C_3 \end{bmatrix}_{(I, \vec{x}_2, \vec{y}_2, \vec{z}_2)}$$

**Q.1.** En tenant compte des données du problème, définir la forme simplifiée de la matrice d'inertie du sous ensemble 1 en  $G_1$  dans la base 1.

**Q.2.** Déterminer le torseur cinétique de 1/0 au point O du sous ensemble 1 dans son mouvement par rapport au repère 0.

**Q.3.** En tenant compte des données du problème, définir la forme simplifiée de la matrice d'inertie de l'anneau 2 en I dans la base 2.

**Q.4.** Déterminer le torseur cinétique de 2/0 au point I du solide 2 dans son mouvement par rapport au repère 0.

**Q.5.** Déterminer le torseur cinétique de 3/0 au point I du solide 3 dans son mouvement par rapport au repère 0.

**Q.6.** En déduire le torseur cinétique de l'ensemble E<sub>1</sub>=2+3 au point I dans son mouvement par rapport au repère 0.

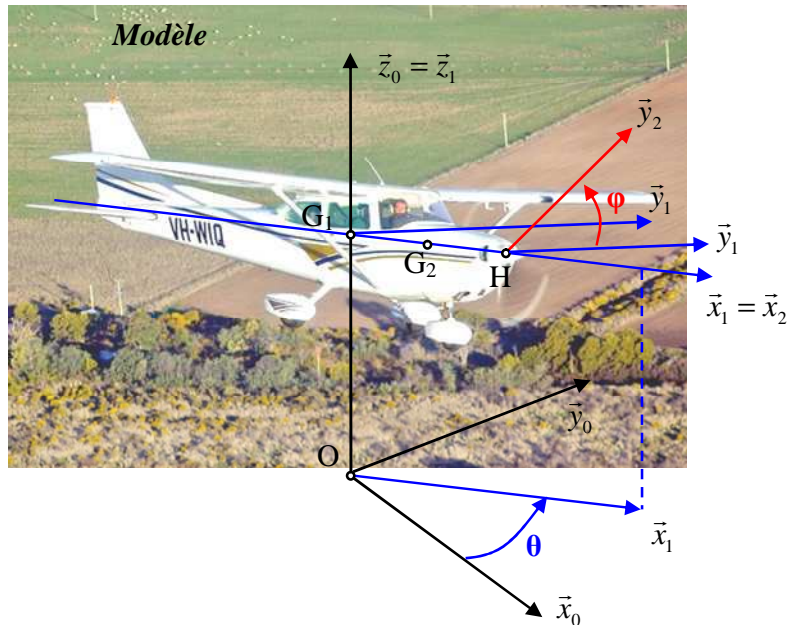
**Q.7.** Déterminer le torseur dynamique de 1/0 au point O du sous ensemble 1 dans son mouvement par rapport au repère 0.



## TD 3 : Avion léger à hélice

On s'intéresse à un avion léger à hélice dont on donne une description structurelle ainsi qu'une modèle cinématique en phase de vie de virage à plat.

Dans cette phase de vie, on suppose que l'avion est en régime moteur constant en vol horizontal d'abord rectiligne puis amorçant un virage à plat (action simplement sur le palonnier).



### Modélisation cinématique :

- L'avion 1 auquel est associé le repère  $\mathcal{R}_1 = (G_1, \vec{x}_1, \vec{y}_1, \vec{z}_1)$  est en vol horizontal par rapport à un référentiel galiléen lié au sol (repère  $\mathcal{R}_0 = (O, \vec{x}_0, \vec{y}_0, \vec{z}_0)$ ). A l'instant initial de l'étude, le pilote amorce un virage à plat et l'avion tourne autour de l'axe ( $G_1, \vec{z}_1$ ) d'un angle  $\theta = (\vec{x}_0, \vec{x}_1)$ .
- La partie rotorique 2 de l'avion, de masse  $m$ , est constituée de l'hélice et de l'arbre porte hélice, en liaison pivot d'axe ( $H, \vec{x}_1$ ) par rapport à l'avion 1 de paramètre  $\varphi = (\vec{y}_1, \vec{y}_2)$ . L'ensemble 2 à

pour centre de gravité  $G_2$ . On donne  $I_{G_2}(2) = \begin{bmatrix} A_2 & 0 & 0 \\ 0 & B_2 & 0 \\ 0 & 0 & C_2 \end{bmatrix}_{(\vec{x}_2, \vec{y}_2, \vec{z}_2)}$ .

**Q.1.** Déterminer le moment cinétique de 2/0 au point  $G_2$  du sous ensemble 2 dans son mouvement par rapport au repère  $\mathcal{R}_0$ .

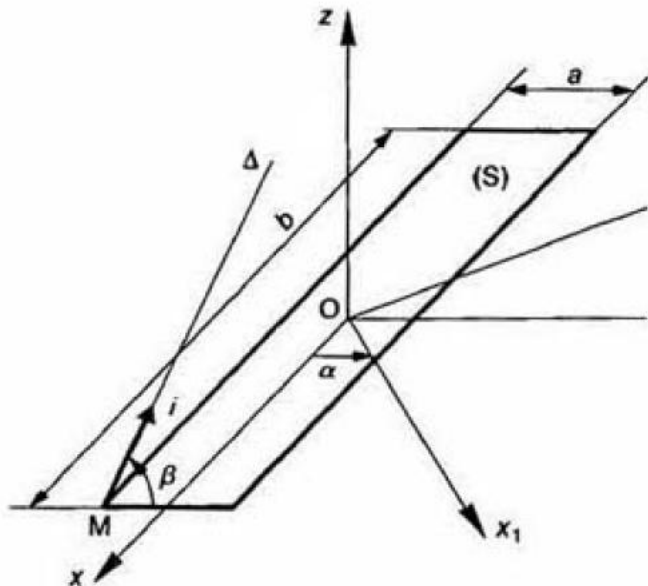
**Q.2.** Déterminer le moment dynamique de 2/0 au point  $G_2$  du sous ensemble 2 dans son mouvement par rapport au repère  $\mathcal{R}_0$ .

**Q.3.** On a  $\varphi = \Omega \cdot t$  avec  $\Omega = \text{cte} > 0$  et  $\theta = \omega \cdot t$  avec  $\omega = \text{cte} > 0$ . Montrer que dans le cas où  $B_2 = C_2$  (cas d'une hélice tripale), le moment dynamique se réduit à  $\overrightarrow{\delta_{G_2,2/0}} = A_2 \cdot \omega \Omega \vec{y}_1$ .



## TD 4 : Pale d'hélicoptère

Une pale d'hélicoptère est schématisée par une plaque rectangulaire ( $S$ ) de largeur  $a$ , de longueur  $b$  et d'épaisseur négligeable. ( $S$ ) est homogène, de masse  $m$  et de centre d'inertie  $O$ .



Soit  $R(O, \vec{x}, \vec{y}, \vec{z})$  un repère lié à ( $S$ ) tel que l'axe  $(O, \vec{x})$  soit parallèle au plus grand côté du rectangle, et l'axe  $(O, \vec{z})$  perpendiculaire au plan du rectangle.

**Q1.** Déterminer les moments d'inertie de ( $S$ ) par rapport aux axes du repère  $(O, \vec{x}, \vec{y}, \vec{z})$ .

**Q2.** Déterminer les moments et les produits d'inertie de ( $S$ ) par rapport aux axes du repère  $(M, \vec{x}, \vec{y}, \vec{z})$  tel que :  $\overrightarrow{OM} = \frac{b}{2}\vec{x} - \frac{a}{2}\vec{y}$ .

**Q3.** Déterminer la matrice d'inertie de ( $S$ ) au point  $O$ , dans la base  $(\vec{x}, \vec{y}, \vec{z})$ .

**Q4.** Déterminer la matrice d'inertie de ( $S$ ) au point  $O$ , dans la base  $(\vec{x}_1, \vec{y}_1, \vec{z})$ , telle que :  $(\vec{x}, \vec{x}_1) = \alpha$ .

**Q5.** Déterminer la matrice d'inertie de ( $S$ ) au point  $M(\frac{b}{2}, -\frac{a}{2}, 0)$ , dans la base  $(\vec{x}, \vec{y}, \vec{z})$ .

**Q6.** Déterminer le moment d'inertie de ( $S$ ) par rapport à l'axe de rotation de la pale  $\Delta(M, \vec{t})$ , tel que :  $\vec{t} = \cos \beta \vec{y} + \sin \beta \vec{z}$ .